

## اثر منیزیم اکسید در به سازی یک خاک رسی آلوده به فنانترن\*

محدثه امینی<sup>(۱)</sup> علی رئیسی استبرق<sup>(۲)</sup> جمال عبدالهی علی بیگ<sup>(۳)</sup>

**چکیده** در این پژوهش، اثر ماده افزودنی منیزیم اکسید ( $MgO$ ) برای به سازی یک خاک رسی معمولی و نیز خاک آلوده شده به ماده آلی فنانترن با انجام آزمایش های آزمایشگاهی گوناگون (شامل حدود اتربرگ، تراکم استاندارد، مقاومت فشاری تک محوری ( $UCS$ ) و میکروسکوپی الکترونی روبشی ( $SEM$ )) مورد مطالعه قرار گرفت. خاک آلوده به فنانترن به صورت مصنوعی در آزمایشگاه تهیه گردید. درصدهای وزنی منیزیم اکسید مورد استفاده برای به سازی خاک معمولی و خاک آلوده معادل ۵، ۱۰، ۲۰ و ۳۰٪ می باشند. نتایج نشان داد که افزودن فنانترن به خاک سبب تغییر ساختار خاک و کاهش درصد رطوبت بهینه ( $w_{opt}$ )، حدود اتربرگ، مقاومت تک محوری و ضریب کشسانی مربوط به ۵۰٪ از مقاومت نهایی ( $E_{50}$ ) خاک می شود. هم چنین نتایج مشخص کرد که با افزودن منیزیم اکسید به خاک طبیعی و خاک آلوده، مقاومت و  $E_{50}$  افزایش می یابد، به طوری که این افزایش تابعی از درصد ماده افزودنی و زمان عمل آوری می باشد. علاوه بر این براساس نتایج  $SEM$  مشخص گردید که محصولات کربناتیون تولید شده در نمونه های به سازی شده سبب افزایش مقاومت می گردند.

واژه های کلیدی فنانترن، منیزیم اکسید، مقاومت،  $SEM$ .

## Improvement the Behaviors of a Clay Soil Contaminated with Phenanthrene by Using MgO

M. Amini

A. Raeesi Estabragh

J. Abdollahi Ali Beik

**Abstract** In this work, the effect of  $MgO$  on the treatment of a natural and contaminated clay soil with phenanthrene was studied through conducting various experimental tests including Atterberg limits, standard compaction, uniaxial compressive strength ( $UCS$ ), and  $SEM$  tests. The contaminated soil was prepared artificially in the lab. Natural and contaminated soil were mixed with 5, 10, 20, and 30% of  $MgO$  as an agent. The results showed that phenanthrene changes the structure of the soil and causes a reduction in Atterberg limits,  $w_{opt}$ ,  $UCS$ , and  $E_{50}$  of the soil. The results also indicated that the  $UCS$  and  $E_{50}$  of mixture natural and contaminated soil with different percentages of  $MgO$  are increased and the amount of increasing of them is dependent on the percentage of  $MgO$  and curing time.  $SEM$  results also showed that the formation of carbonation products due to hydration of  $MgO$  is effective in increasing the strength of treated soil samples.

Keywords:  $MgO$ , Phenanthrene,  $UCS$ ,  $SEM$ .

\*تاریخ دریافت مقاله ۱۴۰۰/۵/۱۵ و تاریخ پذیرش آن ۱۴۰۰/۹/۲۸ از صفحه ۵۳ تا ۶۶ می باشد.

(۱) نویسنده مسئول، دانشجوی دکتری سازه های آبی، گروه آبیاری و آبادانی، دانشکده مهندسی و فناوری، دانشگاه تهران.

Email: amini.mohadeseh@ut.ac.ir

(۲) استاد، گروه آبیاری و آبادانی، دانشکده مهندسی و فناوری، دانشگاه تهران.

(۳) مربی، گروه آبیاری و آبادانی، دانشکده مهندسی و فناوری، دانشگاه تهران.

## مقدمه

در گروه آلاینده‌ الویت دار قرار گرفته است. در ایران بیشینه غلظت این ماده آلی که تاکنون گزارش شده است، مربوط به خاک مناطق نفتی استان بوشهر به میزان  $\text{mg/kg}$  ۱۸۶/۵۸ می باشد [1]. هم چنین حضور این ماده در مناطق مجاور تأسیسات نفتی ری و پالایشگاه نفت تهران نیز گزارش شده است [7، ۶].

آلودگی خاک علاوه بر تهدیدات و اثرات مخرب زیست محیطی، از نظر ژئوتکنیکی نیز حائز اهمیت می باشد، زیرا با ورود آلاینده به خاک امکان تغییر رفتار مهندسی خاک و در نتیجه ایجاد خسارت بر روی سازه های بنا شده روی آنها وجود دارد. پژوهشگران زیادی به بررسی تغییرات فیزیکی و مکانیکی خاک آلوده به آلاینده های آلی پرداختند و گزارش نمودند که پارامترهایی مانند نفوذپذیری، زاویه اصطکاک داخلی، تراکم پذیری، حدود اتربرگ و مقاومت خاک پس از آلوده شدن تغییر می کند [۱۲- 8]. با در نظر گرفتن مسائل یاد شده، به منظور حفاظت از محیط زیست و تأمین محیطی سالم برای زندگی انسان و سایر موجودات، می بایست از ورود این آلاینده به منابع آب جلوگیری نمود که این امر با پاک سازی خاک های آلوده امکان پذیر می باشد. امروزه به سازی خاک های آلوده به روش های مختلف با هدف بهبود خواص فیزیکی و مکانیکی خاک و به منظور استفاده از آنها به عنوان منبع قرضه برای اجرای پروژه و یا احداث سازه بر روی آنها در حال انجام می باشد. یکی از روش های به سازی، روش شیمیایی است که در این روش مواد افزودنی مانند سیمان، آهک، خاکستر بادی و یا اختلاطی از آنها با نسبت های متفاوت با یکدیگر به خاک اضافه می شوند و واکنش های شیمیایی که بین ذرات خاک و مواد افزودنی رخ می دهد، سبب بهبود خواص خاک می شود. بررسی منابع نشان می دهد که سیمان به صورت گسترده برای به سازی خاک غیر آلوده و خاک آلوده به آلاینده های آلی مورد استفاده قرار گرفته است [24-10]. در تولید سیمان انرژی قابل توجهی صرف می شود، هم چنین گاز کربن دی اکسید زیادی وارد محیط می شود؛ به همین دلیل در سال های اخیر، پژوهشگران به دنبال

آلودگی خاک به ترکیبات نفتی، یکی از مهم ترین مشکلات زیست محیطی می باشد که افزایش جمعیت و نرخ بالای فعالیت های صنعتی سبب تشدید این مشکل شده است. این نوع از آلودگی به خصوص در اطراف تأسیسات اکتشاف، پالایش، محل ذخیره و در مسیر انتقال این مواد به صورت گسترده وجود دارد. آلودگی خاک مختص محل و محدوده خاصی از خاک آلوده شده نیست و آلاینده می تواند همراه با بارندگی یا رواناب آب های سطحی در توده خاک در جهت ثقل حرکت کند و خود را به منابع آب زیرزمینی برساند. متداول ترین آلاینده های نفتی شامل هیدروکربن های نفتی کل (TPH)، هیدروکربن های آروماتیک چند حلقه ای (PAHs) و ترکیبات آلیفاتیک می باشد که از این میان PAHs به دلیل طولانی بودن زمان تجزیه پذیری آنها در محیط از اهمیت خاصی برخوردار می باشند [۱]. هیدروکربن های آروماتیک چند حلقه ای از ترکیبات سمی، جهش زا و سرطان زا می باشند [2]. این آلاینده های آلی در مقابل تجزیه شدن بسیار مقاوم هستند و معمولاً در محل های مرتبط با تولید نفت و گاز و صنایع پردازش چوب یافت می شوند [3]. هیدروکربن های آروماتیک حدود ۲۰ تا ۴۰٪ نفت خام را تشکیل می دهند و این ترکیبات می توانند از طریق نشت مواد نفتی که در طی استخراج، فرآوری و انتقال رخ می دهد، سبب ایجاد آلودگی های محدود و یا گسترده در آب و خاک شوند [4]. گزارش هایی از وجود آلودگی نفتی در اطراف پالایشگاه ها و تأسیسات نفتی ایران ارائه شده است [1]. بروز این نوع آلودگی در کشوری هم چون ایران به علت در اختیار داشتن نزدیک به ۹٪ منابع نفتی جهان و وجود بیش از ۱۴۰۰۰ کیلومتر خط انتقال نفت، امری حتمی به نظر می رسد [5].

انواع مختلفی از ترکیبات PAHs در محیط وجود دارد، لیکن آژانس حفاظت از محیط زیست آمریکا (US EPA)، ۲۸ هیدروکربن آروماتیک را به عنوان ترکیبات خطرناک معرفی کرده است [3]. فنانترن یکی از هیدروکربن های آروماتیک با سه حلقه بنزن می باشد که

فتالات با استفاده از ترکیب منیزیم اکسید و سرباره کوره ذوب آهن (GGBS) پرداختند. نتایج آنها نشان داد که عملکرد این ترکیب در مقایسه با سیمان پرتلند و ترکیب سیمان پرتلند و خاکستر بادی بهتر می باشد [29].

جانداری و همکاران نیز در پژوهش خود به بررسی به سازی خاک آلوده به گلیسرول با افزودن منیزیم اکسید پرداختند. نتایج آنها نشان داد که محصولات به دست آمده از کربناسیون منیزیم اکسید و نمک آلی - معدنی تولید شده در خاک سبب افزایش مقاومت خاک آلوده می شود [25]. بررسی منابع نشان می دهد که گرچه در سال های اخیر به سازی خاک با استفاده از منیزیم اکسید صورت گرفته است، لیکن تاکنون پژوهشی در زمینه به سازی خاک آلوده به آلایندة هیدروکربنی نفتی صورت نپذیرفته است.

### ضرورت تحقیق

گاهی اوقات ضروری است پروژه ها در مناطقی اجرا گردند که در آن نواحی، خاک قرضه موجود به دلایل مختلف به مواد آلاینده نفتی آلوده شده است و امکان دسترسی و انتقال خاک طبیعی مطلوب هم به محل پروژه مقدور و مقرون به صرفه نباشد. بنابراین، این مسائل ایجاب می کند که خواص خاک آلوده موجود در آن منطقه بررسی گردد و روش های به سازی آن، مورد مطالعه قرار گیرد که در صورت عدم ایجاد مشکل در محیط زیست، در اجرای پروژه ها می توان از آن خاک به سازی شده، استفاده کرد. هم چنین زمین هایی که در اطراف پالایشگاه های تصفیه نفت، مجتمع های پتروشیمی و سایر صنایع شیمیایی قرار دارند، ممکن است تحت تأثیر شرایط مختلف مانند وارد شدن پساب این تأسیسات، آلوده به مواد آلاینده شوند. آلایندة های مذکور ممکن است از طریق باران و آب های سطحی تحت تأثیر نیروی ثقل به اعماق پایین تر انتقال یابند و در نهایت به سفره های آب زیرزمینی برسند و مشکلات زیست محیطی ایجاد کنند؛ بنابراین خاک آلوده می بایست به نحوی به سازی شود که هم نفوذپذیری آن کم گردد و هم تبدیل مواد آلاینده به مواد غیرسمی میسر گردد. برای ارزیابی به سازی

جایگزینی مناسب برای سیمان که در تولید آن انرژی کمتری صرف شده و گاز کربن دی اکسید کمتری تولید شده باشد، بوده اند. منیزیم اکسید یکی از آن مواد افزودنی جایگزین می باشد که در سال های اخیر به تنهایی و یا اختلاط آن با مواد افزودنی دیگر برای به سازی خاک مورد توجه پژوهشگران قرار گرفته است [22, 23, 25-29]. به طور کلی سه نوع منیزیم اکسید (hard-، light-burnt، dead-burnt و burnt) تولید می شود که تفاوت آنها با یکدیگر در دمای پخت و میزان واکنش پذیری شان می باشد [30]. در این بین منیزیم اکسید light-burnt که نام دیگر آن منیزیم اکسید واکنش پذیر است، در پژوهش ها مورد استفاده قرار گرفته است [26-28]. این نوع منیزیم اکسید، در دمای کمتر از  $1000^{\circ}\text{C}$  تولید می شود، بنابراین انرژی کمتری در تولید آن در مقایسه با سیمان پرتلند (که در دمای  $1450^{\circ}\text{C}$  تولید می شود) مصرف می شود. هم چنین واکنش پذیری منیزیم اکسید مذکور، در مقایسه با دو نوع دیگر منیزیم اکسید تولیدی بیشتر می باشد [30]. لازم به ذکر است که در تولید منیزیم اکسید مقدار زیادی گاز کربن دی اکسید تولید می شود لیکن  $63$  تا  $79\%$  گاز کربن دی اکسید، هنگام واکنش های کربناسیون جذب می گردد [26]. در واقع منیزیم اکسید قادر به جذب گاز کربن دی اکسید محیط نیز می باشد.

اخیرا پژوهشگرانی از جمله لی و همکاران در سال  $2019$  به بررسی تأثیر افزودن منیزیم اکسید، آهک زنده و سیمان پرتلند در تثبیت و جامدسازی خاک آلوده به فلزات سنگین پرداختند و نتیجه گرفتند که هر یک از مواد افزودنی ذکر شده، برای به سازی و جامدسازی خاک آلوده به آلایندة معدنی مشخصی مناسب می باشند و انتخاب نوع ماده افزودنی بستگی به نوع آلایندة غالب در خاک دارد؛ به عنوان مثال منیزیم اکسید سبب کاهش بیشتر غلظت آلایندة های معدنی از جمله سرب، کادمیم و روی در مقایسه با افزودنی هایی مانند آهک و سیمان می شود [27].

هم چنین وانگ و همکاران در سال  $2021$  به بررسی تثبیت و جامدسازی خاک آلوده به آلایندة آلی دی متیل

۱۶/۸ و ۱۸٪ تعیین شد. آزمایش‌های تعیین ویژگی‌های شیمیایی خاک نیز صورت پذیرفت که نتایج آن در جدول (۲) آورده شده است. هم‌چنین آزمایش پراش پرتو ایکس (XRD) روی خاک انجام شد و نتایج نشان داد که کانی‌های این خاک شامل کوارتز، کلسیت و فلدسپار (سدیم، کلسیم و پتاسیم) و کانی‌های رسی غالب آن ایلیت و کلریت می‌باشد.

جدول ۱ ویژگی‌های فیزیکی و مکانیکی خاک

مقدار	ویژگی
۲/۷	وزن مخصوص دانه‌های جامد ( $G_s$ )
۲	ماسه (%)
۴۵	سیلت (%)
۵۳	رس (%)
۴۷	حد روانی (%)
۲۶	حد خمیری (%)
۲۱	شاخص خمیری (%)
۱۶/۸	بیشینه وزن واحد حجم خشک بیشینه ( $kN/m^3$ )
۱۸	درصد رطوبت بهینه (%)

جدول ۲ ویژگی‌های شیمیایی خاک

مقدار	ویژگی
۸	pH
۱۰/۷۴	(dS/m) EC
۰/۳۳	(meq/l) $K^+$
۲۴	(meq/l) $Ca^{2+}$
۱۰	(meq/l) $Mg^{2+}$
۶۰	(meq/l) $CL^-$
۰/۶	(meq/l) $CO_3^{2-}$
۴	(meq/l) $HCO_3^-$
۸۳	(meq/l) $SO_4^{2-}$
۱۰/۲	(%) $CaCO_3$
۰/۰۵	(%) O.C.

صورت‌گرفته خاک در هر حالت و هر شرایطی می‌بایست، خواص فیزیکی و مکانیکی آن مانند مقاومت مورد بررسی قرار گیرد. بنابراین هدف از این پژوهش، بررسی تأثیر ماده افزودنی منیزیم‌اکسید بر بهبود خواص فیزیکی و مکانیکی خاک آلوده به ماده آلی فنانترون می‌باشد. به این منظور آزمایش‌های حدود اتربرگ، تراکم استاندارد، مقاومت تک‌محوری و میکروسکوپ الکترونی روبشی (SEM) بر روی نمونه‌های خاک طبیعی، خاک آلوده، خاک طبیعی و آلوده اختلاط یافته با درصد‌های مختلف منیزیم‌اکسید صورت گرفته است و نتایج آنها با یکدیگر مقایسه شده و بحث لازم در خصوص آنها صورت پذیرفته است.

## مواد و روش‌ها

مواد مورد استفاده در این پژوهش شامل خاک رسی، ماده آلی فنانترون، استون و منیزیم‌اکسید می‌باشد. ویژگی‌های فیزیکی، مکانیکی و شیمیایی آنها در ادامه توضیح داده خواهد شد.

## خاک

خاک رسی مورد استفاده در این پژوهش از قرضه‌ای واقع در اطراف دشت تاکستان در استان قزوین تهیه شد. به منظور تعیین ویژگی‌های فیزیکی و مکانیکی خاک مورد مطالعه، آزمایش‌های وزن مخصوص ذرات جامد ( $G_s$ )، دانه‌بندی، حدود اتربرگ، تراکم براساس استاندارد ASTM روی خاک مورد نظر صورت گرفت، که نتایج آنها در جدول (۱) آورده شده است. براساس نتایج به دست آمده از آزمایش‌های دانه‌بندی و حدود اتربرگ، این خاک در سیستم طبقه‌بندی خاک یونیفاید (USCS)، رس با خاصیت خمیری (پلاستیسیته) پایین (CL) طبقه‌بندی گردید. هم‌چنین براساس نتایج آزمایش تراکم استاندارد، وزن واحد حجم خشک بیشینه ( $\gamma_{dmax}$ ) و درصد رطوبت بهینه ( $w_{opt}$ ) خاک مورد استفاده به ترتیب برابر ( $kN/m^3$ )

### فنانترین

در حلالی مناسب به صورت کامل حل گردد. سپس به- منظور توزیع یکنواخت در خاک، به صورت اسپری به خاک اضافه شود. حلالیت فنانترین در آب بسیار کم می- باشد، به همین علت از استون که حلالی مناسب برای این ماده است و به سرعت در محیط تبخیر می-شود، استفاده گردید. پژوهشگران دیگری نیز از استون برای حل کردن فنانترین در پژوهش‌های خود استفاده نموده‌اند [32-34]. به منظور انجام کامل واکنش‌های شیمیایی بین آلاینده و خاک، خاک آلوده به مدت یک هفته در کیسه پلاستیکی مسدود شده نگه‌داری شد [10].

فنانترین یک هیدروکربن آروماتیک سه حلقه‌ای است که به صورت طبیعی در سوخت‌های فسیلی وجود دارد. همچنین این ماده از سوختن ناقص ترکیبات آلی مانند سوخت‌های فسیلی و چوب به وجود می‌آید. از فنانترین در تولید رنگ، دارو، مواد منفجره و پژوهش‌های بیوشیمی استفاده می‌شود [31]. در پژوهش حاضر به- منظور آلوده نمودن خاک از فنانترین با خلوص ۹۷٪ که از تولیدات شرکت مرک آلمان است، استفاده شد.

### استون

باتوجه به این که ماده آلی فنانترین دارای حلالیت بسیار پایینی در آب می‌باشد (۱/۱۵ mg/l)، در این پژوهش از استون به عنوان حلال استفاده گردید. استون مورد استفاده در این پژوهش، محصولی از شرکت شیمی دارویی نوترون با درجه خلوص ۹۹/۹٪ می‌باشد.

### ساخت و نگه‌داری نمونه‌ها

نمونه‌های خاک مورد بررسی در این پژوهش شامل خاک طبیعی، خاک آلوده به فنانترین و خاک طبیعی و آلوده اختلاط یافته با منیزیم اکسید در درصدهای وزنی ۵، ۱۰، ۲۰ و ۳۰٪ می‌باشد. برای ساخت نمونه‌های خاک، ابتدا آزمایش تراکم استاندارد بر روی نمونه‌های مختلف بر اساس استاندارد ASTM-D698-12<sup>e2</sup> صورت گرفت [35] و منحنی‌های تراکمی هر یک از آنها تعیین شد. سپس بر اساس مشخصات نقطه بهینه هر یک از منحنی- های تراکمی، اقدام به ساخت نمونه‌های مربوط به روش تراکم استاتیکی شد. نمونه‌های خاک با استفاده از دستگاه بارگذاری تک محوری در سه لایه و با سرعت mm/min ۱/۵ متراکم گردیدند. نمونه‌های ساخته شده دارای قطر و ارتفاع معادل ۵۰ mm و قطر ۱۰۰ mm بودند. نمونه‌های حاوی منیزیم اکسید پس از ساخت در اتاقکی با رطوبت بالای ۹۵٪ و دمای ۲۵ °C نگه‌داری شدند (مشابه شرایط نگه‌داری به کاررفته در پژوهش استبرق و همکاران [23]) و در زمان‌های عمل‌آوری ۳، ۷، ۱۴ و ۲۸ روز از اتاقک خارج و آزمایش مقاومت تک محوری بر روی آنها انجام گردید.

### منیزیم اکسید

در این کار پژوهشی، از منیزیم اکسید برای بهبود خواص ژئوتکنیکی خاک رسی و خاک آلوده به آلاینده آلی استفاده گردید. منیزیم اکسید به کار رفته، محصولی از شرکت شیمی دارویی نوترون است و شامل ۹۴٪/۲ منیزیم اکسید، ۱٪/۷ کلسیم اکسید، ۰٪/۸۵ سیلیسیم اکسید و ۰٪/۶۲ فریک اکسید و ۰٪/۱۶ آلومینیوم اکسید می‌باشد. وزن مخصوص، میانگین اندازه ذرات و سطح ویژه آن نیز به ترتیب معادل ۳/۵۵، ۶۰ (μm) و ۳۰۰-۲۵۰ (m<sup>2</sup>/g) می‌باشد.

### تهیه خاک آلوده

در این پژوهش برای تهیه نمونه خاک آلوده، از ماده آلی فنانترین با درصد وزنی ۰/۱۲٪ (۱۲۰۰ میلی‌گرم در یک کیلوگرم خاک) استفاده گردید. از آنجا که فنانترین ماده‌ای جامد است، می‌بایست قبل از اضافه کردن به خاک

### آزمایش حدود اتربرگ

به منظور بررسی اثر افزودن ماده آلی فنانترین و ماده افزودنی منیزیم اکسید بر روی مقادیر حدود اتربرگ،

رویشی اقدام به عکس برداری گردید. این آزمایش در آزمایشگاه SEM پژوهشگاه مواد و انرژی انجام گردید.

### نتایج

در این پژوهش تعداد ۱۰ آزمایش حدود اتربرگ، ۱۰ آزمایش تراکم استاندارد، ۱۰۲ آزمایش مقاومت تک-محوری و ۶ آزمایش SEM بر روی نمونه های خاک طبیعی، خاک آلوده به فنانتزن، خاک طبیعی و آلوده اختلاط یافته با درصد های مختلف منیزیم اکسید انجام پذیرفت. نتایج به دست آمده از آزمایش های صورت گرفته به شرح زیر می باشد.

### نتایج آزمایش حدود اتربرگ

نتایج آزمایش حدود اتربرگ نمونه های خاک طبیعی، خاک آلوده به فنانتزن و خاک طبیعی و آلوده اختلاط یافته با منیزیم اکسید در درصد های مختلف در شکل (۱) نشان داده شده است. براساس این شکل، حدود روانی و خمیری خاک طبیعی به ترتیب برابر ۴۷ و ۲۶٪ می باشد. با افزودن منیزیم اکسید در درصد های گوناگون به خاک، حدود اتربرگ افزایش می یابد. به عنوان مثال افزودن ۵٪ منیزیم اکسید به خاک، حدود روانی و خمیری خاک را به ۵۰ و ۳۲٪ رسانده است که این مقادیر به ازای افزودن ۳۰٪ منیزیم اکسید برابر ۵۵ و ۳۸٪ می باشد. هم چنین این شکل نشان می دهد که اضافه کردن فنانتزن به خاک سبب کاهش ۵ درصدی حد روانی و ۴ درصدی حد خمیری در مقایسه با خاک طبیعی شده است. این مقادیر با افزودن منیزیم اکسید به خاک آلوده افزایش پیدا کرده است. به عنوان مثال اضافه کردن ۳۰٪ منیزیم اکسید به خاک آلوده حد روانی و حد خمیری را به ترتیب به مقادیر ۵۴ و ۳۸٪ رسانده است. به طور کلی می توان نتیجه گیری کرد که افزودن منیزیم اکسید به خاک طبیعی و خاک آلوده به فنانتزن سبب افزایش حدود روانی و خمیری می شود.

حدود روانی و خمیری نمونه های خاک طبیعی، خاک آلوده به فنانتزن و خاک طبیعی و خاک آلوده حاوی درصد های مختلف منیزیم اکسید براساس استاندارد ASTM-D4318-17<sup>e1</sup> تعیین گردید [36].

### آزمایش مقاومت تک محوری

آزمایش مقاومت تک محوری (UCS) براساس ASTM-D1633-17 روی نمونه های مختلف خاک صورت پذیرفت [37]. نمونه ها پس از قرارگیری در دستگاه بارگذاری، با سرعت ۱ mm/min تا گسیختگی کامل تحت تأثیر اعمال بار قرار گرفتند. در طول آزمایش، مقادیر بار اعمال شد و تغییر شکل ایجاد شده در نمونه ها ثبت گردید و با استفاده از داده های ثبت شده اقدام به تعیین منحنی تنش-کرنش هر یک از آنها شد. لازم به ذکر است که در این کار پژوهشی آزمایش مقاومت تک محوری برای هر یک از حالت های مورد بررسی، با سه تکرار صورت گرفت. سپس در صورت نزدیک بودن نتایج، میانگین آنها به عنوان نتیجه نهایی منظور گردید. حال اگر یکی از نتایج آزمایش ها با دو آزمایش دیگر اختلاف معنی داری داشت، آن نمونه حذف شد و میانگین نتایج باقی مانده گزارش گردید.

### SEM

تصاویر میکروسکوپ الکترونی روبشی (SEM) امکان بررسی و تحلیل ریزساختار نمونه های خاک را در ابعاد میکرونی فراهم کرده است. در این پژوهش، آزمایش SEM روی نمونه های خاک طبیعی، خاک آلوده به فنانتزن، خاک طبیعی اختلاط یافته با ۵ و ۳۰٪ منیزیم اکسید و خاک آلوده اختلاط یافته با ۵ و ۳۰٪ منیزیم اکسید در زمان عمل آوری ۲۸ روز صورت گرفت. آماده سازی نمونه ها برای انجام آزمایش SEM به این صورت بود که از وسط نمونه ها، بخش کوچکی جدا گردید و بر روی پایه ای مخصوص برای عمل پوشش دهی طلا قرار داده شد. سپس با استفاده از دستگاه میکروسکوپ الکترونی

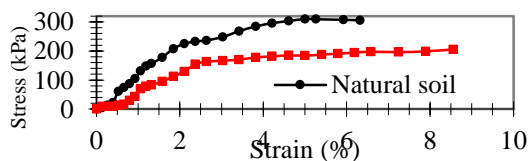
منیزیم اکسید شده است.

جدول ۳ پارامترهای تراکمی نمونه‌های خاک طبیعی و آلوده به‌سازی شده

پارامترهای تراکمی				
$\gamma_{dmax}$ (kN/m <sup>3</sup> )		w (%)		
				MgO (%)
خاک آلوده	خاک طبیعی	خاک آلوده	خاک طبیعی	
۱۵/۳	۱۵/۲	۲۱/۸	۲۱	۵
۱۵/۱	۱۵	۲۲	۲۱	۱۰
۱۵	۱۴/۹	۲۳/۵	۲۲/۸	۲۰
۱۴/۸	۱۴/۸	۲۴	۲۳/۷	۳۰

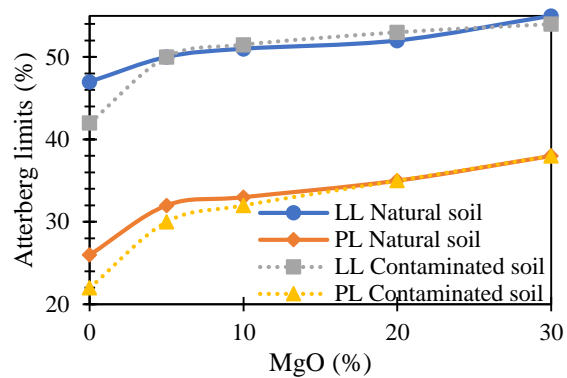
### نتایج آزمایش مقاومت تک‌محوری

شکل (۳)، منحنی‌های تنش- کرنش نمونه‌های خاک طبیعی و خاک آلوده به فنانترن را نشان می‌دهد. همان‌طور که در این شکل ملاحظه می‌گردد، آلوده کردن خاک با ماده‌الی فنانترن سبب تغییر مقاومت خاک از ۳۰۶ kPa به ۲۰۳ شده است. در واقع افزودن فنانترن به خاک سبب کاهش ۳۴ درصدی مقاومت فشاری در مقایسه با خاک طبیعی شده است. همچنین مشاهده می‌شود که گسیختگی نمونه خاک طبیعی در کرنش ۶٪ و خاک آلوده در کرنش ۸/۵٪ اتفاق افتاده است.



شکل ۳ منحنی تنش- کرنش خاک طبیعی و خاک آلوده

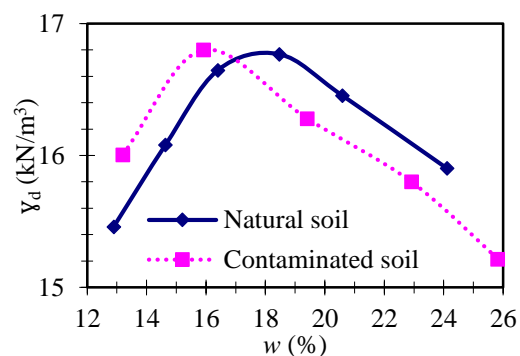
نتایج مقاومت فشاری نهایی به‌دست‌آمده از منحنی-های تنش- کرنش نمونه‌های خاک طبیعی و آلوده حاوی منیزیم اکسید در درصد‌های وزنی ۵، ۱۰، ۲۰ و ۳۰٪ و زمان‌های عمل‌آوری ۳، ۷، ۱۴ و ۲۸ روز به‌صورت نمودار میله‌ای در شکل (۴) نشان داده شده است. همان‌گونه که مشاهده می‌گردد، در هر یک از درصد‌های ثابت ماده



شکل ۱ نتایج حدود اتربرگ نمونه‌های خاک مورد مطالعه

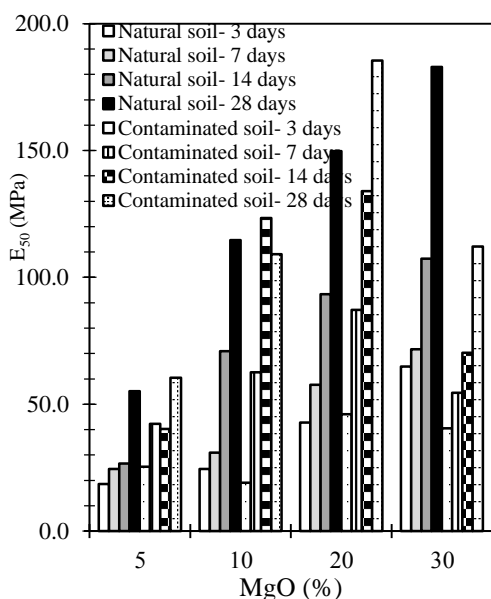
### نتایج آزمایش تراکم استاندارد

شکل (۲)، منحنی تراکمی نمونه‌های خاک طبیعی، خاک آلوده به فنانترن را نشان می‌دهد. براساس این شکل، افزودن فنانترن به خاک سبب کاهش رطوبت بهینه خاک شده است و آن را از ۱۸ به ۱۶٪ رسانده است لیکن افزودن این ماده‌الی تأثیری در مقدار وزن واحد حجم خشک بیشینه نداشته است و مقدار آن برابر ۱۶/۸ kN/m<sup>3</sup> گردیده است.



شکل ۲ منحنی تراکم نمونه‌های خاک طبیعی و آلوده مورد مطالعه

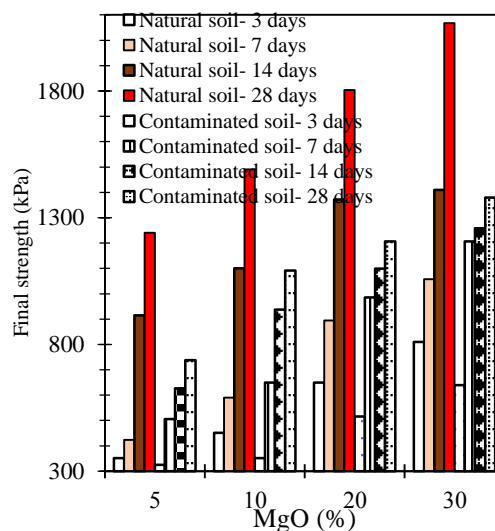
پارامترهای تراکمی نمونه‌های به‌سازی‌شده با منیزیم-اکسید براساس منحنی‌های تراکمی به‌دست‌آمده برای هر یک از آنها تعیین گردید و نتایج آنها در جدول (۳) آورده شد. همان‌طور که مشاهده می‌شود افزودن منیزیم اکسید سبب کاهش وزن واحد حجم خشک بیشینه و افزایش رطوبت بهینه در نمونه‌های خاک طبیعی و آلوده حاوی



شکل ۵ تغییرات E<sub>50</sub> نمونه‌های به‌سازی شده با منیزیم اکسید

باتوجه به شکل (۳) و محاسبات صورت گرفته، E<sub>50</sub> خاک طبیعی و خاک آلوده به ترتیب برابر ۱۲/۲ و ۶/۱ MPa به دست آمد. این نتایج نشان می‌دهد که افزودن فنانترن به خاک سبب کاهش ضریب کشسانی نمونه خاک آلوده در مقایسه با خاک طبیعی می‌شود. نتایج محاسبات مربوط به نمونه‌های خاک طبیعی و آلوده حاوی منیزیم-اکسید در شکل (۵) آورده شده است. این شکل نشان می‌دهد که افزودن منیزیم اکسید به نمونه‌های خاک سبب افزایش E<sub>50</sub> در مقایسه با نمونه‌های خاک آلوده و طبیعی می‌شود. همچنین مقایسه مقادیر E<sub>50</sub> نمونه‌های به‌سازی شده نشان می‌دهد که به‌ازای درصد ثابت ماده افزودنی، مقادیر ضریب کشسانی با گذشت زمان افزایش می‌یابد. همچنین به‌ازای زمان عمل‌آوری ثابت، افزایش E<sub>50</sub> نمونه‌های خاک با افزایش درصد ماده افزودنی مشاهده می‌شود (البته این امر در برخی از نمونه‌های آلوده صادق نمی‌باشد که علت آن به شکل منحنی تنش- کرنش نمونه‌های خاک و پراکنندگی داده‌های ثبت شده مرتبط می‌باشد). علاوه بر این مقایسه نتایج نشان می‌دهد که به‌ازای افزودن ۳۰٪ از ماده افزودنی، E<sub>50</sub> نمونه‌های خاک طبیعی حاوی منیزیم اکسید بیشتر از نمونه‌های آلوده حاوی منیزیم اکسید می‌باشد.

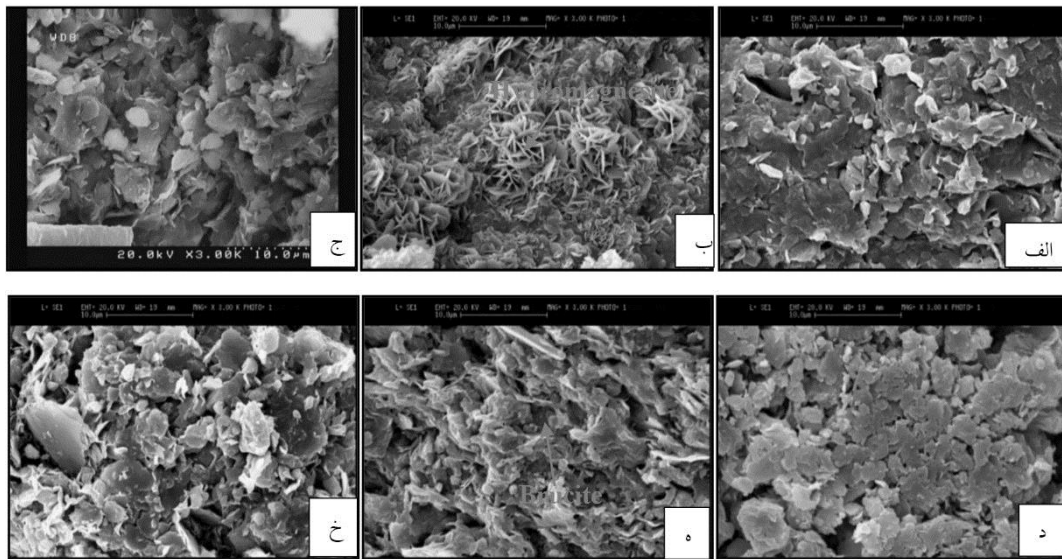
افزودنی، مقاومت فشاری نهایی نمونه‌های خاک طبیعی و آلوده با گذشت زمان افزایش می‌یابد. به‌عنوان مثال با افزودن ۵٪ منیزیم اکسید به خاک طبیعی، مقاومت فشاری نهایی آن از ۳۰۶ به مقادیر ۳۵۲ و ۱۲۴۰ کیلوپاسکال به ترتیب در زمان‌های عمل‌آوری ۳ و ۲۸ روز رسیده است که با افزایش درصد ماده افزودنی به ۳۰٪، این مقادیر به ترتیب برابر ۸۱۰ و ۲۰۶۸ کیلوپاسکال به دست آمده است. این مقادیر برای خاک آلوده به‌ازای افزودن ۵٪ منیزیم اکسید به ترتیب برابر ۳۲۵ و ۷۳۸ کیلوپاسکال و به‌ازای افزودن ۳۰٪ منیزیم اکسید به ترتیب برابر ۶۴۰ و ۱۳۸۰ کیلوپاسکال شده است. در واقع می‌توان بیان کرد که مقاومت فشاری نهایی خاک طبیعی و آلوده به‌سازی شده با منیزیم اکسید، با افزایش درصد ماده افزودنی و زمان عمل‌آوری افزایش می‌یابد. همچنین مقایسه نتایج مقاومت فشاری نهایی خاک طبیعی با آلوده در شکل (۴) نشان می‌دهد که به‌طور کلی مقاومت فشاری نمونه‌های خاک طبیعی به‌سازی شده، بیشتر از نمونه‌های خاک آلوده به‌سازی شده با منیزیم اکسید می‌باشد.



شکل ۴ مقاومت فشاری نهایی نمونه‌های به‌سازی شده با منیزیم-اکسید

همچنین ضریب کشسانی (الاستیک) مربوط به ۵۰٪ از مقاومت نهایی (E<sub>50</sub>) نمونه‌ها براساس منحنی‌های تنش-کرنش هر یک از نمونه‌ها محاسبه گردید.





شکل ۶ تصاویر SEM نمونه‌های خاک با بزرگ‌نمایی ۳۰۰۰ برابر الف) خاک طبیعی، ب) خاک طبیعی + ۵٪ منیزیم اکسید، ج) خاک طبیعی + ۳۰٪ منیزیم اکسید، د) خاک آلوده، ه) خاک آلوده + ۵٪ منیزیم اکسید و خ) خاک آلوده + ۳۰٪ منیزیم اکسید

خاک، بخشی از آن سطح ذرات خاک را می‌پوشاند و از آنجا که این ماده آلی غیرقطبی است، کاهش پتانسیل جذب آب توسط ذرات و در نتیجه کاهش حدود اتربرگ را سبب می‌شود. هم‌چنین شکل (۱) نشان می‌دهد که افزودن درصدهای مختلف منیزیم اکسید به خاک طبیعی و خاک آلوده، سبب افزایش حدود اتربرگ می‌شود که این افزایش تابعی از درصد ماده افزودنی می‌باشد. دلیل این امر آن است که ماده افزودنی منیزیم اکسید دارای سطح ویژه بالایی (۲۵۰-۳۰۰  $m^2/g$ ) می‌باشد که این امر سبب افزایش قدرت جذب آب توسط ذرات و در نتیجه افزایش حدود اتربرگ می‌گردد. این نتایج با یافته‌های پژوهشگران دیگر نیز مطابقت دارد [23, 25].

نتایج آزمایش تراکم در شکل (۲) نشان می‌دهد که آلوده کردن خاک با ماده آلی فنانترن سبب کاهش ۲٪ رطوبت بهینه می‌شود، لیکن وزن واحد حجم خشک بیشینه تغییری نمی‌کند. هم‌چنین مقایسه دو عکس SEM در شکل (۶-الف و د) نشان‌دهنده تغییر ساختار خاک از

### نتایج SEM

شکل (۶) تصاویر SEM نمونه‌های مختلف خاک را نشان می‌دهد. با توجه به شکل (۶-الف) مشاهده می‌شود که خاک طبیعی دارای ساختار لخته می‌باشد که افزودن فنانترن به آن سبب تغییر ساختار خاک شده و آن را به سمت پراکنده شدن تغییر داده است (شکل ۶-د). با اضافه کردن منیزیم اکسید به خاک، ساختار نمونه‌های خاک (شکل‌های ۶-ب و ۶-ج) در مقایسه با نمونه خاک طبیعی لخته‌تر شده و فضاهای خالی بین ذرات به وسیله مواد به دست آمده از کربناسیون و واکنش‌هایی که در محیط خاک رخ داده است، پر شده است. این امر در نمونه‌های آلوده به‌سازی شده (شکل‌های ۶-ه و ۶-خ) نیز مشاهده می‌گردد.

### بحث

نتایج آزمایش حدود اتربرگ نشان می‌دهد که افزودن فنانترن به خاک سبب کاهش حدود اتربرگ در مقایسه با خاک طبیعی شده است. در واقع با افزودن فنانترن به

آنها وجود دارد نمی توانند نسبت به هم جابه جا شوند، بنابراین موجبات کاهش وزن واحد حجم خشک بیشینه آنها فراهم می گردد. این نتایج با نتایج گزارش شده توسط پژوهشگران دیگر هماهنگی دارد [23, 25].

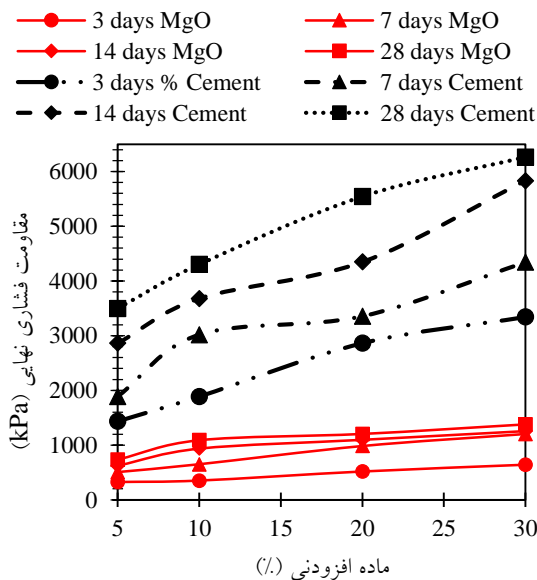
نتایج آزمایش مقاومت تک محوری (شکل ۳) نشان می دهد که مقاومت خاک با آلوده شدن با فنانترن، کاهش پیدا کرده است. دلیل این امر آن است که خاک طبیعی به علت داشتن ساختار لخته، بین ذرات آن اصطکاک وجود دارد، لیکن این اصطکاک بین ذرات در خاک آلوده وجود ندارد و ذرات به راحتی بر روی یکدیگر می لغزند که این امر سبب کاهش مقاومت آن در مقایسه با خاک طبیعی می گردد. پژوهشگران دیگر نیز کاهش مقاومت خاک آلوده به آلایندة آلی را گزارش نموده اند [10-12, 20, 25].

شکل (۴) نشان می دهد که افزودن منیزیم اکسید به خاک طبیعی و خاک آلوده، مقاومت فشاری نهایی را افزایش می دهد. با اضافه کردن منیزیم اکسید به خاک، منیزیم اکسید تحت فرآیند هیدراسیون به یون منیزیم تبدیل می شود و تبادل کاتیونی بین این یون و کاتیون های کانی های خاک صورت می گیرد. منیزیم اکسید با جذب آب به بروسیت ( $Mg(OH)_2$ ) تبدیل می شود که این ماده توانایی چسباندن محدودی از ذرات را دارد. بروسیت تحت تأثیر شرایط مناسبی و با جذب آب و گاز کربن دی اکسید، واکنش های کربناسیونی انجام می دهد و به موادی به نام نسکوهنیت ( $MgCO_3 \cdot 3H_2O$ )، دپینجیت ( $(Mg)_5(CO_3)_4(OH)_2 \cdot 5H_2O$ ) و هیدرومگنیزیت ( $(Mg)_5(CO_3)_4(OH)_2 \cdot 4H_2O$ ) تبدیل می گردد. این مواد فضاهای خالی بین ذرات را پر می کنند و سبب چسباندن ذرات به یکدیگر و در نتیجه افزایش مقاومت نمونه های خاک می شوند [38]. بدیهی است که عامل زمان در کسب مقاومت بسیار مهم است. تصاویر SEM تشکیل این مواد را حین فرآیند کربناسیون تأیید می کند. پژوهشگرانی مانند استبرق و همکاران و جاندار و همکاران نیز افزایش مقاومت خاک طبیعی و خاک آلوده به ماده آلی

حالت لخته به پراکنده می باشد؛ بنابراین می توان نتیجه گیری کرد که آلوده کردن خاک سبب تغییر ساختار و کاهش فضاهای بین ذرات، در مقایسه با خاک طبیعی شده است. در خاک طبیعی با اضافه کردن رطوبت و اعمال انرژی تراکمی بر آن، امکان جابه جایی ذرات وجود دارد، لیکن این جابه جایی در خاک آلوده به علت داشتن ساختار پراکنده و محدودیت فضاهای خالی بین ذرات کمتر رخ داده است. این امر سبب تغییر نکردن وزن واحد حجم خشک بیشینه در دو خاک طبیعی و آلوده شده است. این نتایج با نتایج ارائه شده توسط پژوهشگران دیگر همخوانی ندارد [10-12, 25]. پژوهشگرانی مانند خلوصی و همکاران و حاجی محمدی و حمیدی، کاهش وزن واحد حجم خشک بیشینه و افزایش درصد رطوبت بهینه به خاک را با افزودن ماده هیدروکربنی آنتراسن به خاک گزارش نمودند. لیکن استبرق و همکاران و جاندار و همکاران نتیجه گرفتند که به ازای افزودن بیش از ۳٪ گلیسرول به خاک، وزن واحد حجم خشک بیشینه و درصد رطوبت بهینه، به ترتیب افزایش و کاهش پیدا کرده است.

مقایسه مقادیر پارامترهای تراکمی در جدول (۳) نشان می دهد که افزودن منیزیم اکسید به خاک طبیعی و خاک آلوده سبب کاهش وزن واحد حجم خشک بیشینه و افزایش درصد رطوبت بهینه می شود. هم چنین با مقایسه تصاویر SEM تهیه شده در شکل (۶) می توان گفت که افزودن منیزیم اکسید به خاک سبب افزایش درجه لختگی ذرات و افزایش فضاهای خالی بین آنها می شود. بنابراین باتوجه به نتایج آزمایش های تراکم و SEM می توان نتیجه گیری کرد که منیزیم اکسید به علت داشتن سطح ویژه بالای ذرات، سبب افزایش درجه لختگی ساختار خاک و افزایش فضاهای خالی بین آنها شده است. هم چنین با لخته شدن ساختار، ذرات درشت دانه تر می شوند و سطح ویژه آنها کاهش می یابد؛ در نتیجه پتانسیل جذب آب نیز کاهش پیدا می کند و رطوبت اضافه شده در حین آزمایش تراکم، در بین ذرات قرار می گیرد و با اعمال انرژی تراکمی، ذرات به علت وجود پیوندهای قوی که در بین

رابطه با مسائل زیست محیطی دارد، به طوری که در هنگام تولید،  $CO_2$  کمتری وارد محیط می شود و از طرفی در حین مراحل هیدراسیون نیز، از محیط  $CO_2$  جذب می نماید. پژوهشگران مختلف از جمله لی و همکاران و وانگ و همکاران با پژوهش های خود نیز به این نتیجه رسیده اند که در عملیات پاکسازی خاک های آلوده به مواد آلاینده، منیزیم اکسید عملکرد بهتری نسبت به سیمان دارد [27, 29]. بنابراین اگر هزینه انرژی و سایر موارد با مبالغ واقعی منظور گردد و مقاومت ایجاد شده نیز مطلوب باشد، کاربرد منیزیم اکسید با توجه به جمیع جهات، نسبت به سیمان ارجح است.



شکل ۷ مقاومت فشاری نهایی نمونه های آلوده اختلاط یافته با درصد های مختلف منیزیم اکسید و سیمان در زمان های عمل آوری متفاوت

### نتیجه گیری

بر اساس مطالعات انجام شده در این پژوهش، نتایج زیر قابل استخراج است:

- بر اساس تصاویر SEM ارائه شده برای خاک طبیعی و آلوده، افزودن فنانترن به خاک رسی سبب تغییر ساختار خاک می شود و ساختار آن را به سمت پراکنده

گلیسرول را با افزودن منیزیم اکسید گزارش نمودند [23, 25].

نتایج ضریب کشسانی متناظر با ۵۰٪ از مقاومت نهایی نمونه های مورد مطالعه نشان می دهد که این ضریب با افزایش زمان عمل آوری و درصد ماده افزودنی افزایش یافته است. علت این امر آن است که فرآیند کربناسیون و تولید محصولات آن با گذشت زمان صورت می گیرد که این فرآیند سبب افزایش مقادیر  $E_{50}$  می شود.

نتایج این پژوهش نشان می دهد که ماده افزودنی منیزیم اکسید، قابلیت به سازی خاک طبیعی و خاک آلوده به فنانترن را دارا می باشد. هم چنین آزمایش های مشابهی نیز روی نمونه هایی از خاک اختلاط یافته با درصد های مختلف سیمان و زمان های عمل آوری گوناگون صورت پذیرفت که نتایج آن همراه با نتایج و کاربرد منیزیم اکسید، در شکل (۷) ارائه شده است. همان طور که در این شکل مشاهده می گردد، نمونه های به سازی شده با منیزیم اکسید در درصد های یکسان و زمان های عمل آوری مشابه، دارای مقاومت نهایی کمتری نسبت به سیمان می باشند. بر اساس قیمت های اخذ شده از فروشندگان مصالح ساختمانی، هزینه به سازی ۱ متر مکعب خاک با ۱۰٪ منیزیم اکسید، معادل ۲۲۷۰۰۰ تومان می گردد، لیکن برای به سازی آن با ۵٪ سیمان که مقاومت بیشتری از کاربرد درصد منیزیم اکسید مذکور دارد، مبلغ ۸۶۰۰۰ تومان محاسبه می شود. مقایسه این ارقام و نیز مقاومت کسب شده نشان می دهد که برای به سازی خاک در شرایط کنونی کشور (پایین بودن نرخ مواد سوختی) مصرف سیمان به ظاهر اقتصادی و مطلوب می باشد. لیکن باید توجه داشت که برای تولید سیمان، به حرارتی با دمای ۱۴۵۰ درجه سانتی گراد نیاز است که این خود سبب مصرف مقدار زیاد مواد سوختی می گردد، لیکن در تولید منیزیم اکسید حرارتی کمتر از ۱۰۰۰ درجه سانتی گراد مورد نیاز است؛ بنابراین اگر هزینه انرژی به صورت واقعی مطابق آنچه در کشورهای غربی معمول است منظور گردد، هزینه های تولید آنها حدوداً یکسان می شود. از طرفی منیزیم اکسید اثر تخریبی کمتری نسبت به سیمان در

- شدن پیش می برد.
- افزودن ماده آلی فناترن به خاک رسی، سبب کاهش درصد رطوبت بهینه آن در مقایسه با خاک طبیعی می گردد، لیکن مقدار وزن واحد حجم خشک بیشینه تغییر نمی یابد.
- فناترن سبب کاهش مقاومت در مقایسه با خاک طبیعی می شود که اضافه کردن منیزیم/اکسید به آن، مقاومت خاک آلوده و E<sub>50</sub> را افزایش می دهد که این افزایش تابعی از درصد ماده افزودنی به کار رفته و زمان عمل-آوری می باشد.

### مراجع

۱. شاکری، ع.، رضی کرد محله، ل. و اسماعیلی، ا. «بررسی غلظت هیدروکربن های نفتی کل، پلی هیدروآروماتیک ها و آلیفاتیک ها در خاک مناطق نفتی استان بوشهر»، پانزدهمین همایش انجمن زمین شناسی ایران، تهران، دانشگاه خوارزمی، (۱۳۹۰).
2. Harvey, R. G., "Polycyclic Aromatic Hydrocarbons: Chemistry and Carcinogenicity", Cambridge University Press, New York, (1991).
3. Kuppusamy, S., Thavamani, P., Venkateswarlu, K., Lee, Y. B., Naidu, R., and Megharaj, M., "Remediation Approaches for Polycyclic Aromatic Hydrocarbons (PAHs) Contaminated Soils: Technological Constraints, Emerging Trends and Future Directions", *Chemosphere*, Vol. 168, pp. 944-968, (2017).
4. Kharisov, B.I., Dias, H.V.R., and Kharissova, O. V., "Nanotechnology-based Remediation of Petroleum Impurities from Water", *Journal of Petroleum Science and Engineering*, Vol. 122, pp. 705-718, (2014).
5. <https://www.ioptc.ir>
۶. علایی، ا.، وکیلی، ف. و مهرداد شریف، ا.ع.، «گیاه پالایی خاک های آلوده به فناترن با استفاده از گیاه سورگوم»، نشریه محیط شناسی، دوره ۳۶، شماره ۵۳، صص. ۷۹-۸۸ (۱۳۸۹).
7. Arbabi, M., Nasser, S., and Chimezie, A., "Biodegradation of Polycyclic Aromatic Hydrocarbons (PAHs) in Petroleum Contaminated Soils", *Iranian Journal of Chemistry and Chemical Engineering*, Vol. 28, No. 3, pp. 53-59, (2009).
8. Meegoda, N. J., and Ratnaweera, P., "Compressibility of Contaminated Fine-grained Soils", *Geotechnical Testing Journal*, Vol. 17, No. 1, pp. 101-112, (1994).
9. Khamehchiyan, M., Hossein Charkhabi, A., and Tajik, M., "Effects of Crude Oil Contamination on Geotechnical Properties of Clayey and Sandy Soils", *Engineering Geology*, Vol. 89, No. 3-4, pp. 220-229, (2007).
10. Estabragh, A. R., Khatibi, M., and Javadi, A. A., "Effect of Cement on Treatment of a Clay Soil Contaminated with Glycerol", *Journal of Materials in Civil Engineering*, Vol. 28, No. 4, pp. 04015157-10, (2016).

۱۱. خلوصی، م.م.، رئیسی استبرق، ع.، عبدالهی، ج.، «بررسی تغییرات خصوصیات فیزیکی و مکانیکی خاک رسی آلوده به ماده هیدروکربنی با افزودن سیمان»، نشریه مهندسی عمران مدرس، دوره ۱۷، شماره ۲، صص. ۹۳-۱۰۶، (۱۳۹۶).
۱۲. حاجی محمدی، م. و حمیدی، ا.، «بهسازی رفتار مکانیکی رس کائولینیت آلوده به آنتراسن با سیمان و آهک»، نشریه تحقیقات آب و خاک ایران (علوم کشاورزی ایران)، دوره ۵۱، شماره ۷، صص. ۱۷۸۳-۱۷۹۵، (۱۳۹۹).
13. Sherwood, T. P., "Soil Stabilization with Cement and Lime: State of the Art Review", HMSO Books, London, (1993).
14. Bergado, D.T., Anderson, L.R., Miura, N., and Balasubramaniam, A.S., "Soft Ground Improvement in Lowland and Other Environments", ASCE Press, New York, (1996).
15. Al-Tabbaa, A., "Soil Mixing in the UK 1991–2001: State of Practice Report", *Proceedings of the Institution of Civil Engineers - Ground Improvement*, Vol. 7, No. 3, pp. 117–126, (2003).
16. Puppala, A. J., Wattanasanticharoen, E., and Punthutaecha, K., "Experimental Evaluations of Stabilisation Methods for Sulphate-rich Expansive Soils", *Proceedings of the Institution of Civil Engineers - Ground Improvement*, Vol. 7, No. 1, pp. 25–35, (2003).
17. Chew, S. H., Kamruzzaman, A. H. M., and Lee, F. H., "Physicochemical and Engineering Behavior of Cement Treated Clays", *Journal of Geotechnical and Geoenvironmental Engineering*, Vol. 130, No. 7, pp. 696–706, (2004).
18. Lee, F.-H., Lee, Y., Chew, S.-H., and Yong, K.-Y., "Strength and Modulus of Marine Clay-Cement Mixes", *Journal of Geotechnical and Geoenvironmental Engineering*, Vol. 131, No. 2, pp. 178–186, (2005).
19. Kitazume, M., and Terash, M., "The deep mixing method. Leiden, the Netherlands", CRC Press/Balkema, Leiden, The Netherlands, (2013).
20. Chen, H., Jiang, Y., Zhang, W., and He, X., "Experimental Study of the Stabilization Effect of Cement on Diesel Contaminated Soil", *Quarterly Journal of Engineering Geology and Hydrogeology*, Vol. 50, No. 2, pp. 199–205, (2017).
21. Estabragh, A. R., Kholoosi, M. M., Ghaziani, F., and Javadi, A. A., "Stabilization and Solidification of a Clay Soil Contaminated with MTBE", *Journal of Environmental Engineering*, Vol. 143, No. 9, pp. 04017054-8, (2017).
22. Estabragh, A.R., Jahani, A., Javadi, A.A., and Babalar, M., "Assessment of Different Agents for Stabilisation of a Clay Soil", *International Journal of Pavement Engineering*, Published online, (2020).
23. Estabragh, A. R., Khajepour, H., Javadi, A. A., and Amini, M., "Effect of Forced Carbonation on the Behaviour of a Magnesia-stabilised Clay Soil", *International Journal of Pavement Engineering*, Published online, (2020).
24. Oluwatuyi, O. E., Ojuri, O. O., and Khoshghalb, A., "Cement-lime Stabilization of Crude Oil Contaminated Kaolin Clay", *Journal of Rock Mechanics and Geotechnical Engineering*, Vol. 12, No. 1, pp. 160–167, (2020).
۲۵. جاننداری، ف.، ریسی استبرق، ع.، عبدالهی علی بیک، ج.، امینی، م. و انصار شوریجه، آ.، «بهسازی خاک آلوده به ماده آلی گلیسرول با

منیزیم اکسید»، نشریه زمین شناسی مهندسی خوارزمی، (پذیرفته شده).

26. Yi, Y., Lu, K., Liu, S., and Al-Tabbaa, A., "Property Changes of Reactive Magnesia–Stabilized Soil Subjected to Forced Carbonation", *Canadian Geotechnical Journal*, Vol. 53, No. 2, pp. 314–325, (2016).
27. Li, W., Ni, P., and Yi, Y., "Comparison of Reactive Magnesia, Quick Lime, and Ordinary Portland Cement for Stabilization/Solidification of Heavy Metal-Contaminated Soils", *Science of the Total Environment*, Vol. 671, pp. 741–753, (2019).
28. Yang, Y., Ruan, S., Wu, S., Chu, J., Unluer, C., Liu, H., and Cheng, L., "Biocarbonation of Reactive Magnesia for Soil Improvement", *Acta Geotechnica*, Vol. 16, No. 4, pp. 1113–1125, (2021).
29. Wang, F., Xu, J., Zhang, Y., Shen, Z., and Al-Tabbaa, A., "MgO-GGBS Binder–Stabilized/Solidified PAE-Contaminated Soil: Strength and Leachability in Early Stage", *Journal of Geotechnical and Geoenvironmental Engineering*, Vol. 147, No. 8, pp. 04021059-7, (2021).
30. Shand, M., Al-Tabbaa, A., Qian, J., Mo, L., and Jin, F., "Magnesia Cements: From Formulation to Application", Elsevier, (2020).
31. Wexler, P., Anderson, B.D., Gad, S.C., Hakkinen, P.B., Kamrin, M., De Peyster, A., Locey, B., Pope, C., Mehendale, H.M., and Shugart, L.R., "Encyclopedia of Toxicology", Vol. 3, Academic Press, (2005).
32. López-Vizcaíno, R., Sáez, C., Cañizares, P., and Rodrigo, M. A., "The Use of a Combined Process of Surfactant-Aided Soil Washing and Coagulation for PAH-contaminated Soils Treatment", *Separation and Purification Technology*, Vol. 88, pp. 46–51, (2012).
33. Alcántara, T., Pazos, M., Cameselle, C., and Sanromán, M. A., "Electrochemical Remediation of Phenanthrene from Contaminated Kaolinite", *Environmental Geochemistry and Health*, Vol. 30, No. 2, pp. 89–94, (2008).
34. Chang, M. C., Huang, C. R., and Shu, H. Y., "Effects of Surfactants on Extraction of Phenanthrene in Spiked Sand", *Chemosphere*, Vol. 41, No. 8, pp. 1295–1300, (2000).
35. ASTM D698-12  $\epsilon$ 2, "Standard Test Methods for Laboratory Compaction Characteristics of Soil Using Standard Effort (12 400 ft-lbf/ft<sup>3</sup> (600 kN-m/m<sup>3</sup>))", ASTM International, West Conshohocken, PA, (2012).
36. ASTM D4318-17  $\epsilon$ 1, "Standard Test Methods for Liquid Limit, Plastic Limit, and Plasticity Index of Soils", ASTM International, West Conshohocken, PA, (2017).
37. ASTM D1633-17, "Standard Test Methods for Compressive Strength of Molded Soil-Cement Cylinders", ASTM International, West Conshohocken, PA, (2017).
38. Yi, Y., Liska, M., Unluer, C., and Al-Tabbaa, A., "Carbonating Magnesia for Soil Stabilization", *Canadian Geotechnical Journal*, Vol. 50, No. 8, pp. 899–905, (2013).

